孟凡生, 聂兰玉, 薛 浩, 等. 高锰酸钾氧化-电动强化修复 Cr(Ⅲ)污染土壤[J]. 农业环境科学学报, 2018, 37(6): 1125-1131.

MENG Fan-sheng, NIE Lan-yu, XUE Hao, et al. Potassium permanganate oxidation-electrokinetic advanced remediation for soils contaminated with trivalent chromium[J]. *Journal of Agro-Environment Science*, 2018, 37(6): 1125–1131.

高锰酸钾氧化-电动强化修复 Cr(Ⅲ)污染土壤

孟凡生1, 聂兰玉2, 薛浩1, 张道萍1

(1.中国环境科学研究院, 北京 100012; 2.日照市环境保护局, 山东 日照 276826)

摘 要: 铬渣污染土壤中三价铬[Cr(Ⅲ)]比例较高,为解决常规电动修复方法对 Cr 污染土壤中 Cr(Ⅲ)去除效率低的问题,提出了高锰酸钾氧化-电动强化修复技术。以配制的 Cr(Ⅲ)污染高岭土和国内某铬渣污染场地土壤为研究对象,施加 1 V·cm⁻¹ 直流电压,采用阴极添加 KMnO₄溶液的形式氧化 Cr(Ⅲ),试验运行 96 h。试验结果表明:通过高锰酸钾氧化,高岭土配土组的总铬去除效率从对照组的 32.4%提高到 78.4%,铬渣污染土壤组从对照组的 20.9%提高到 42.6%,添加 KMnO₄溶液浓度增加,去除效率提高。在电场作用下,阴极加入的高锰酸钾以阴离子形式在土壤中向阳极迁移,Cr(Ⅲ)以阳离子形式向阴极迁移,部分 Cr(Ⅲ)形成沉淀吸附在土壤中。高锰酸钾迁移过程中把部分 Cr(Ⅲ)氧化为六价铬[Cr(Ⅵ)],Cr(Ⅵ)以含氧阴离子的形式向阳极迁移,Cr(Ⅵ)迁移性好于 Cr(Ⅲ),有效控制了 Cr(Ⅲ)形成沉淀,从而促进 Cr 的去除。研究表明,高锰酸钾氧化-电动强化修复技术能显著提高铬的去除效率。

关键词:高锰酸钾;氧化;电动修复;三价铬;土壤

中图分类号: X53 文献标志码: A 文章经

A 文章编号:1672-2043(2018)06-1125-07

doi:10.11654/jaes.2017-1434

Potassium permanganate oxidation-electrokinetic advanced remediation for soils contaminated with trivalent chromium

MENG Fan-sheng¹, NIE Lan-yu², XUE Hao¹, ZHANG Dao-ping¹

(1.Chinese Research Academy of Environmental Sciences, Beijing 100012, China; 2.Rizhao Municipal Environmental Protection Bureau, Rizhao 276826, China)

Abstract: The proportion of trivalent chromium[$Cr(\ III)$] is higher in soils contaminated with chromium residues. The potassium permanganate(KMnO₄) oxidation – electrokinetic advanced remediation method was proposed as a means to overcome the low $Cr(\ III)$ removal efficiency of the conventional electrokinetic method for the remediation of chromium–contaminated soil. A voltage of 1 $V \cdot cm^{-1}$ DC was applied together with the addition of KMnO₄ into the cathode for the advanced remediation of simulated $Cr(\ III)$ –contaminated Kaolin as well as chromium residue–contaminated soils collected from a chemical factory in China. Experiments were run for 96 hours. The total chromium [Cr(T)] removal efficiency was significantly enhanced by the (KMnO₄) oxidation–electrokinetic advanced remediation method, and the Cr(T) removal rate of the groups with KMnO₄ oxidation was up to 78.4% and 42.6%, as compared with 32.4% and 20.9% for the control groups without KMnO₄ oxidation, for the simulated $Cr(\ III)$ –contaminated Kaolin (32.4%) and chromium residue–contaminated soils, respectively. The Cr(T) removal rate enhancement increased with the increasing KMnO₄ concentration. Under the direct electric field, the MnO₄ added in the cathode moved toward the anode, and the $Cr(\ III)$ positive ions migrated toward the cathode through the soils; some $Cr(\ III)$ ions were adsorbed on the soils by precipitation during migration. The other $Cr(\ III)$ ions were oxidized to hexavalent chromium[$Cr(\ VI)$] ions during KMnO₄ migration, and the $Cr(\ VI)$ negative ion migrated toward to the anode. Because the migration rate of $Cr(\ VI)$ ions was higher than that of $Cr(\ III)$ ions in the soils, the precipitation of $Cr(\ III)$ ions could be controlled effectively, and the chromium removal efficiency could be improved.

Keywords; potassium permanganate (KMnO₄); oxidation; electrokinetic remediation; trivalent chromium; soil

收稿日期:2017-10-21 录用日期:2018-02-28

作者简介:孟凡生(1979—),男,山东临沂人,博士,副研究员,从事电化学污染控制技术研究。E-mail:mengfs@craes.org.cn

基金项目:国家自然科学基金青年科学基金项目(51308520)

Project supported: The Young Scientists Fund of the National Natural Science Foundation of China (51308520)

铬渣的长期堆放造成了土壤和地下水的污染[1-3], 成为我国环境保护工作中一个突出问题。针对 Cr 污 染土壤,国内外开发了一系列修复技术,其中电动技 术由于经济高效、适用范围广等优点而应用于 Cr 污 染土壤的修复[47]。这些电动修复试验用土多为试验配 土[5-6],较少试验使用铬渣污染场地土壤[7]。

研究发现电动去除的大部分都是移动性较强的 六价铬[Cr(Ⅵ)],对三价铬[Cr(Ⅲ)]的去除效率较低^[8-10]。 这是因为 Cr(Ⅲ)容易被土壤吸附固定,高 pH 值的土 壤中,Cr(Ⅲ)一般呈现沉淀态,其氢氧化物、碳酸化物 均为沉淀形式,极易被土壤胶体吸附或形成沉淀,不 容易发生迁移^[3]。前期研究发现,受 Cr 污染土壤中 Cr 主要以 Cr(Ⅲ)价态存在,电动修复铬渣堆放场地污染 土壤时总铬[Cr(T)]去除率仅为 8.7%[8,11]。提高 Cr(Ⅲ) 的脱附或者将 Cr(Ⅲ)转化为吸附能力较弱的 Cr(Ⅵ) 将可能增加土壤铬的去除,NaClO、H2O2、KMnO4等均 可以将 Cr(Ⅲ)氧化为 Cr(Ⅵ)[12-14]。周东美等[12]研究发 现,在阳极液酸性环境中加入的 H₂O₂ 引起土壤中部 分 Cr(Ⅵ)被还原成 Cr(Ⅲ),降低了土壤中铬的移动 性,从而使 Cr(T)的去除率减少。Cang 等[14]在阴极液 中加入 NaClO,促进了 Cr(Ⅲ)氧化为移动性能好的 Cr(VI),提高了铬的去除率。

本文提出了高锰酸钾(KMnO4)氧化-电动强化 修复技术,在阴极液中添加高锰酸钾,通过高锰酸钾 把 Cr(Ⅲ)氧化为 Cr(Ⅵ),增加铬移动性,提高土壤中 Cr(T)的电动修复去除效率,旨在解决由于 Cr(Ⅲ)存 在而导致 Cr(T)去除效率低的问题。

材料与方法

1.1 试验装置

采用自行设计加工的电动修复装置(有机玻璃 制作),分为中间的土壤室(30 cm×20 cm×10 cm)和两 端的阴、阳电极室(均为 10 cm×20 cm×10 cm),具体 如图 1。

1.2 试验材料

六水合三氯化铬、高锰酸钾、磷酸、硫酸、脲、亚硝 酸钠、二苯碳酰二肼、氯化钾、醋酸和氢氧化钠均为分 析纯。

试验用高岭土购自大同市金源高岭土有限责任 公司的超细煅烧高岭土。受铬渣污染土壤样品取自国 内某化工厂铬渣堆放场地,室外自然风干,使用粉碎 机(ZN-08L型小型粉碎机)粉碎,过 0.15 mm 筛,待 用。土壤 pH 为 9.3~10.2,偏碱性,这是由于铬渣的主要 成分为 Ca、Mg、Si、Al、Fe 等的碱性氧化物[2,15], 电导率 为 6.1~8.5 mS·cm⁻¹,饱和含水率 40%。Cr(T)和Cr(VI) 分别达到 22 290~24 056 mg·kg⁻¹ 和 2950~3078 mg· kg⁻¹,Cr 主要以 Cr(Ⅲ)形态存在。改进的 BCR 提取方 法[16-17]测得供试土样中各种形态 Cr 所占比例为醋酸 可提取态 25.1%、可还原提取态5.5%、可氧化态 13.7%、残渣态 55.7%。

1.3 试验方法和方案

高岭土配土:准确称取 15.37 g 六水合三氯化铬, 溶解并定容至 2.00 L 容量瓶。倒入聚乙烯箱内,同时 向箱内加入 2 L 去离子水及 6.00 kg 高岭土,混合均 匀,均衡 24 h。模拟受 Cr(Ⅲ)污染高岭土的理论浓度 为 500 mg·kg⁻¹。

铬渣污染土壤: 称取 5 kg 自然风干的铬渣污染 土壤倒入聚乙烯箱内,加入定量纯净水,使土壤含水 量在30%左右,混合均匀,均衡24h。

取均衡后的土样 4 kg 于电动装置土壤室中, 阴、 阳极电极室均加入 0.1 mol·L-1 的 KCl 溶液。将连接至 数显电源的碳棒电极插入电解液中,通电,在土样两 端施加 30 V 的直流电压。试验过程中,使用 pH 控制 系统向阴极室滴加醋酸溶液控制阴极液 pH 在 7.0 左

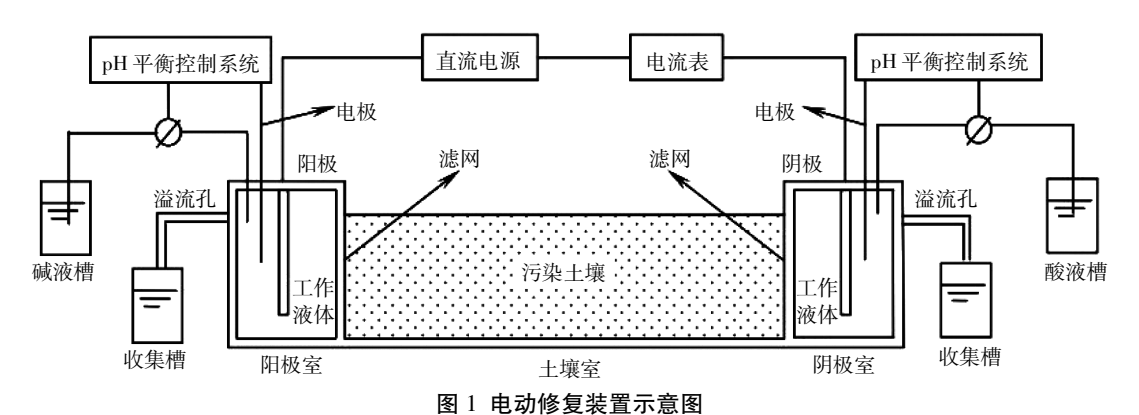


Figure 1 Schematic diagram of electrokinetic remediation equipment

右,每1h记录电流。试验运行96h,试验完成后,收 集电解液及土样(土样均分为 10 份),测定 pH、电导 率、含水率、Cr(T)浓度、Cr(VI)浓度。

共进行3组高岭土试验和3组铬渣污染土壤试 验,试验方案见表1。

Cr(T)的去除率=「处理前土样中 Cr(T)质量-处理 后土样残留 Cr(T)质量 I/处理前土样中 Cr(T)质量。

1.4 分析方法

电解液中 Cr(VI)浓度采用二苯碳酰二肼分光光 度法测定(仪器为722SP型分光光度计,上海棱光技 术有限公司);Cr(T)质量浓度采用高锰酸钾氧化-二 苯碳酰二肼分光光度法测定。

土壤 pH 采用不含二氧化碳的蒸馏水按照 1:2.5 的土液比搅拌后用 pH 计(Mettler Toledo FE20)测定; 土壤中 Cr(VI)浓度采用 KCl 溶液提取-二苯碳酰二 肼分光光度法(722sp 可见分光光度计)法测定;Cr(T) 浓度采用浓硫酸+氢氟酸+高氯酸+浓硝酸消解后火 焰原子吸收分光光度计(岛津 AA-6300)测定。Cr(T) 和 Cr(Ⅵ)浓度之差为 Cr(Ⅲ)浓度。

结果和讨论

2.1 电流变化分析

图 2 为电动修复过程中试验电流的变化情况。

电动修复过程中, 电流呈现一个上升的趋势, EK-1~EK-3 组在 105~185 mA 之间, EK-4~EK-6 在 340~525 mA 之间。由于试验时间仅为 4 d,没有出现 前期试验电流先升高后降低最后趋于平稳的趋势[18-19]。 每日更换一次电解液,更换后电动系统需要重新进入 工作状态,电流会出现暂时下降的现象。

土壤中电流的大小依赖于土壤的电导率,而电导 率的大小主要依附于土壤孔隙液中不同离子的浓度, 离子浓度越大,通过土壤的电流也就越大[20-21]。在电动 初期, 电解液内的带电离子在外加电场的作用下,开 始进入土壤并各自迁移,土壤中导电离子数量随之变 多,从而使得电流随着电动的进行而逐渐变大。EK-4~EK-6 组电流大于 EK-1~EK-3 组, 主要是因为铬 渣污染土壤中存在更多离子。

2.2 pH 变化分析

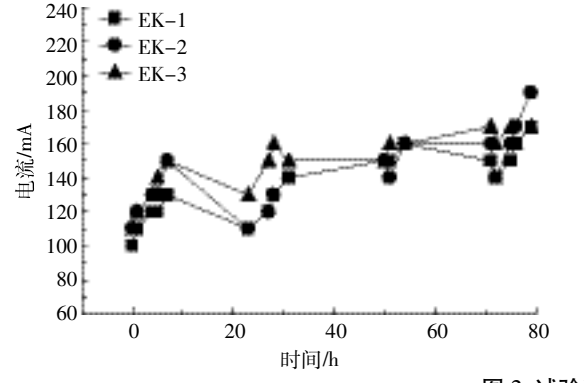
图 3 为电动修复后土壤中 pH 分布。

电动修复后,EK-1~EK-3 组土壤的 pH 在 3~5 之间。六水合三氯化铬所配的高岭土呈现酸性,pH约 在 3.4 左右,高岭土具有较低的 pH 缓和能力,最后阳 极电解水产生的 H+在电场的作用下向阴极移动,阴 极电解产生的 OH 被醋酸中和,所以土壤整体呈现酸 性。EK-4~EK-6 组土壤的 pH 在 8.72~9.64 之间,这 是因为铬渣污染土壤原始 pH 范围为 9.3~10.2,同时

表 1 电动修复试验方案

Table 1 Electrokinetic remediation experiments scheme

编号	介质	电压/V	运行时间/h	阴极液	阳极液
EK-1	高岭土	30	96	0.1 mol·L¹ 氯化钾	0.1 mol·L ⁻¹ 氯化钾
EK-2	高岭土	30	96	0.1 mol·L⁻¹ 氯化钾+10 g·L⁻¹ 高锰酸钾	0.1 mol·L⁻¹ 氯化钾
EK-3	高岭土	30	96	0.1 mol·L⁻¹ 氯化钾+20 g·L⁻¹ 高锰酸钾	0.1 mol·L⁻¹ 氯化钾
EK-4	铬渣污染土壤	30	96	0.1 mol·L¹ 氯化钾	0.1 mol·L⁻¹ 氯化钾
EK-5	铬渣污染土壤	30	96	0.1 mol·L⁻¹ 氯化钾+10 g·L⁻¹ 高锰酸钾	0.1 mol·L⁻¹ 氯化钾
EK-6	铬渣污染土壤	30	96	0.1 mol·L⁻¹ 氯化钾+20 g·L⁻¹ 高锰酸钾	0.1 mol·L⁻¹ 氯化钾



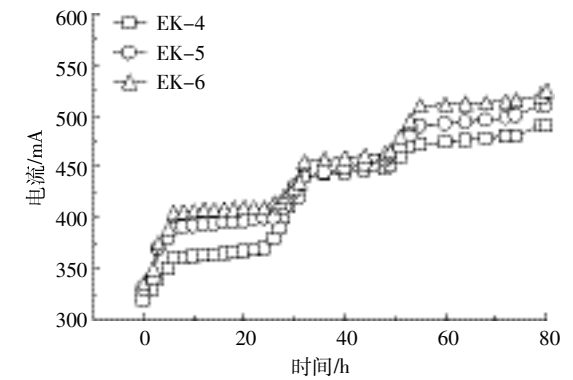


图 2 试验过程中电流的变化

Figure 2 Electric current variation during EK remediation

1128 农业环境科学学报 / 第 37 卷第 6 期

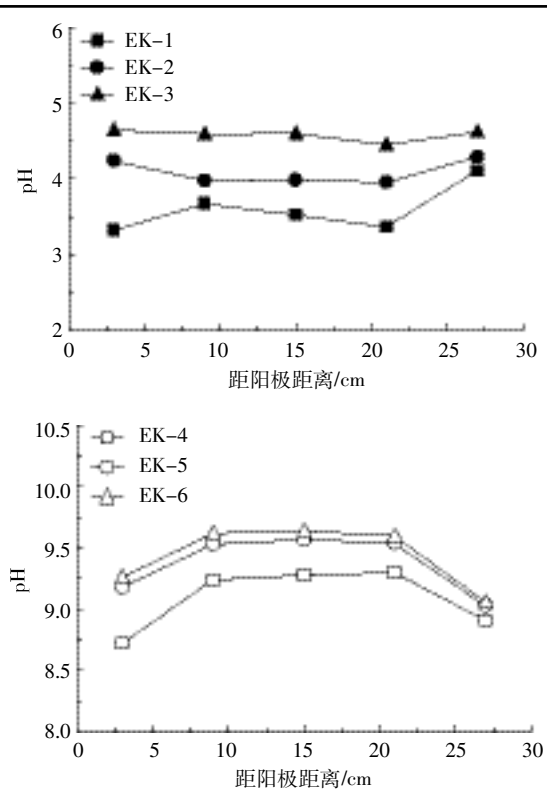


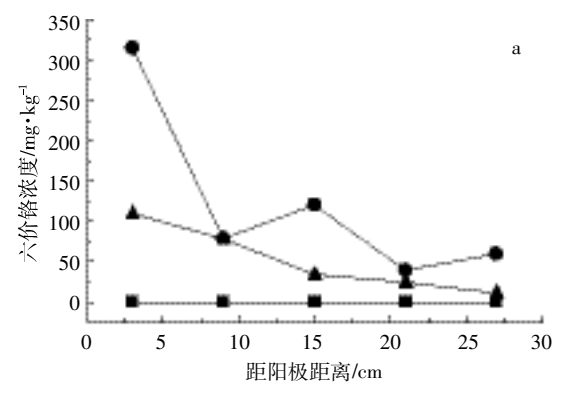
图 3 电动后土样 pH 变化 Figure 3 pH profiles after EK remediation

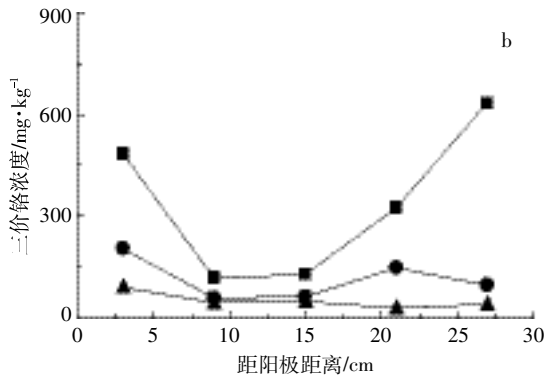
存在酸碱缓冲物质,电解水产生的 H⁺和醋酸中和效果不明显,仍然呈现碱性。pH 呈现阴阳极低,中间区域高的趋势,靠近阳极区 pH 值降低是由于电动过程中,阳极电解产生的 H⁺迁移到土壤中,使得靠近阳极的土壤 pH 降低。在阴极酸性醋酸溶液通过蠕动泵加入到阴极电解液中,中和了阴极电解产生的OH⁻,部分醋酸进入到土壤中使得靠近阴极区土壤 pH 值降低。

2.3 铬浓度分布变化分析

图 4a、图 4b、图 4c 分别为电动修复试验完成后,高岭土组中 Cr(VI)、Cr(III)、Cr(T)浓度分布情况。

从图 4a 可以看出,电动修复后,EK-1 高岭土中未检测到 Cr(VI)。EK-2、EK-3 高岭土中分布有 Cr(VI),其浓度趋势总体为从阴极到阳极逐渐增加。根据数据分析,EK-2、EK-3 中存在的 Cr(VI)主要是 $KMnO_4$ 氧化 Cr(II)生成的,可能存在反应为: MnO_4 + CrO_2 → MnO_2 ↓+ CrO_4^2 ; $2MnO_4$ + $2CrO_2$ + H_2O → $2MnO_2$ ↓+ CrO_4^2 + CrO_4 + CrO_4 0,同时生成的 Cr(VI)以含氧阴离子的形式存在,在外加电场的作用下向阳极移动,移动到阳极酸性区域附近后部分 CrO_4^2 生成 $HCrO_4$ 0, $HCrO_4$ 0%附在土壤中从而使得阳极区的 Cr(VI)浓度明显高于其他部位[22]。





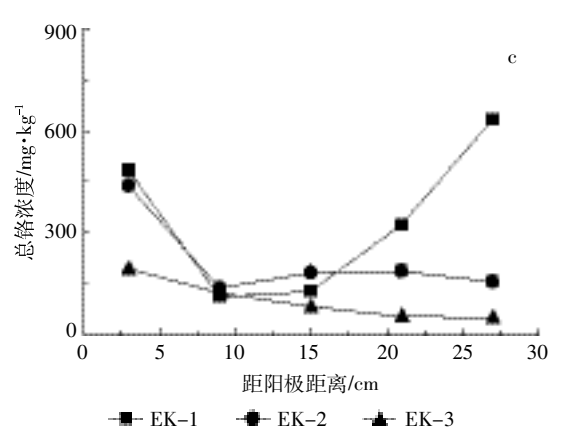


Figure 4 Chromium concentration profiles in Kaolin after EK remediation

图 4 试验完成后高岭土中铬浓度分布

EK-2 组 Cr(\mathbb{N})浓度高于 EK-3 组 Cr(\mathbb{N})浓度,较高浓度的 KMnO₄ 加入后土壤电导率增大^[23],使得产生的更多的 Cr(\mathbb{N})移出土壤,这与 EK-3 组的 Cr(\mathbb{N})浓度小于 EK-2 组、EK-3 组 Cr(\mathbb{N})浓度小于 EK-2 相对应。

EK-1 组高岭土中 Cr(Ⅲ)浓度与阳极距离越近,浓度越高,靠近阴极区的浓度最大,这主要是由于在酸性条件下,部分 Cr(Ⅲ)以阳离子形式在外加电场下向阴极移动引起的。EK-2 组、EK-3 组 Cr(Ⅲ)分布未呈现与 EK-1 组 Cr(Ⅲ)分布相同的变化趋势,反而

逐渐下降,且 Cr(Ⅲ)浓度大小为 EK-1 组>EK-2 组> EK-3组。原因是 EK-2组、EK-3组电动修复时阴极 区加入了浓度为 10、20 g·L⁻¹ 的 KMnO₄。 KMnO₄ 浓度 越高生成的 Cr(Ⅵ) 越多, 因而土壤残留的 Cr(Ⅲ) 浓 度 EK-2 组>EK-3 组,同时高锰酸根(MnO₄)氧化 Cr(Ⅲ)位置则是由电场的作用下向阳极移动的 MnO4 与向阴极移动的 Cr(Ⅲ)的移动速度决定的。

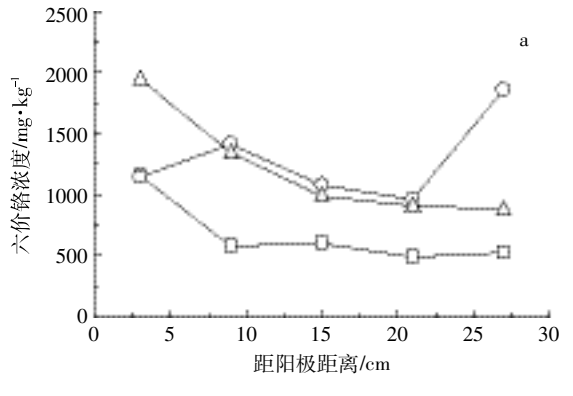
图 5a、图 5b、图 5c 分别为电动修复试验完成后, 铬渣污染土壤组中 Cr(Ⅵ)、Cr(T)、Cr(Ⅲ)浓度分布 情况。

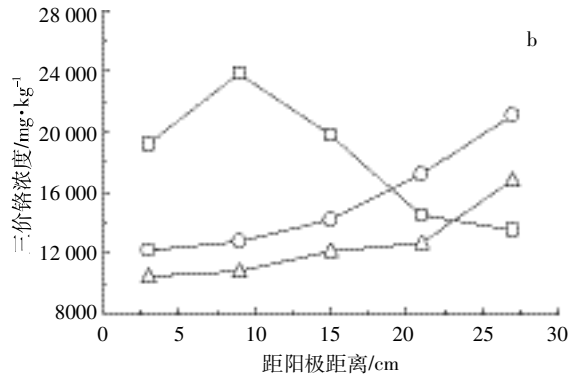
铬渣污染土壤初始 Cr(VI)浓度为 2950~3078 mg·kg-1,从图 5 中 Cr(VI)浓度分布可以看出,土壤残留 的 Cr(VI)含量明显降低。对于 EK-4 组, 阴极工作液没 有高锰酸钾,试验过程中没有 Cr(Ⅲ)氧化为 Cr(Ⅵ)。 EK-5 组和 EK-6 组,由于 KMnO4 的氧化作用,土壤 中部分 Cr(III)氧化为 Cr(VI), EK-5 组和 EK-6 组中 Cr(VI)浓度高于 EK-4 组。EK-4 组和 EK-6 组Cr(VI) 浓度从阴极到阳极逐渐增加,是因为 Cr(VI)以含氧 阴离子向阳极迁移逐渐累积[18]。EK-5 组阴极 Cr(VI) 浓度高可能是由于在阴极附近的 Cr(Ⅲ)被氧化生成 Cr(VI)向阳极迁移受阻引起的,应深入研究。Cr(T)浓 度分布与 Cr(Ⅲ)浓度分布呈现一致性。

2.4 去除效率对比分析

高岭土和铬渣污染土壤共计6组试验质量守恒 分析和去除效率见表 2。

EK-1 组、EK-2 组、EK-3 组电动修复前 Cr(T)总 质量分别为 2 494.1、2 400.5、2 348.1 mg, 电动修复后 残留 Cr(T)总质量分别为 1 685.3、1 102.2、506.8 mg, 土壤中 Cr(T)浓度显著降低。图 4 中显示土壤不同位 置Cr(T)的变化趋势,其中 EK-1 组 Cr(T)的变化趋势 同 Cr(Ⅲ)的变化趋势,从阳极到阴极 Cr(T)浓度先变 小后增大,靠近阴极区的浓度最大;EK-2组、EK-3





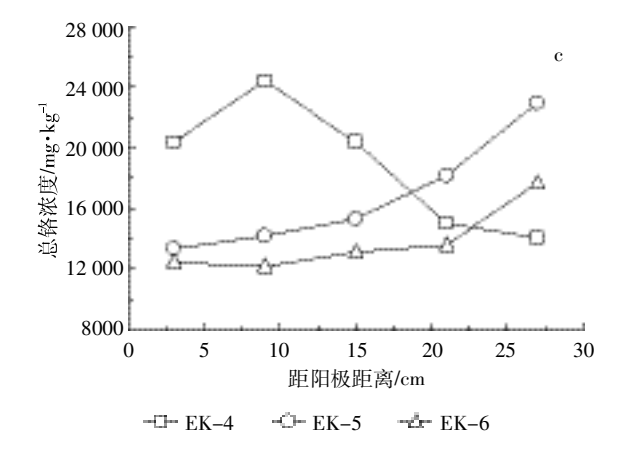


图 5 试验完成后铬渣污染土壤中铬浓度分布

Figure 5 Chromium concentration profiles in chromium residue soil after EK remediation

表 2 去除效率和质量守恒分析

Table 2 Removal efficiency and mass balance of experiments

编号	处理前总铬的质量/mg 一	I	电动后总铬的质量/mg	- 质量守恒/%	去除率/%	
	处理刑心辩的灰里/mg 一	土壤残留	阳极室	阴极室	灰里寸色/%	去陈华/%
EK-1	2 494.1	1 685.3	30.0	430.1	86.0	32.4
EK-2	2 400.5	1 102.2	1 011.8	50.3	90.2	54.1
EK-3	2 348.1	506.8	1 847.2	79.4	103.6	78.4
EK-4	95 420.0	75 455.2	5 408.6	1 536.2	86.4	20.9
EK-5	89 160.0	67 179.2	17 558.3	1 786.7	97.0	24.7
EK-6	96 224.0	55 240.0	31 727.0	3 884.4	94.4	42.6

组 Cr(T)浓度由阳极到阴极呈现逐渐下降的趋势,出 现这种现象主要有以下几方面原因:①Cr(T)浓度等 于 Cr(Ⅵ)浓度加上 Cr(Ⅲ)浓度,Cr(Ⅲ)以阳离子形 式在外加电场作用下向阴极移动,因而开始 Cr(T)浓 度下降;移动的途中 Cr(Ⅲ)遇到由阴极向阳极移动的 MnO_4 并被它氧化为 Cr(VI), 生成的 Cr(VI)以含氧阴 离子形式在外加电场下向阳极移动,使得靠近阴极区 Cr(T)浓度没有像 EK-1 组一样升高。②KMnO4 氧化 Cr(Ⅲ)离子会生成 CrO₃,CrO₃与水反应生成重铬酸 根离子,以重铬酸根离子形式存在的 Cr(VI)一般 不会吸附在高岭土中[24],使得大多数 Cr(VI)含氧阴 离子存在于土壤孔隙液里并移向阳极。另外,比较图 中 EK-2 组与 EK-3 组可知,电动修复后土壤残留 Cr(T)量EK-3 组<EK-2 组,EK-3 组试验中 KMnO₄ 浓度是 EK-2 组试验的两倍,高浓度的 KMnO4 使 得土壤电导率增加,同时氧化 Cr(Ⅲ)产生更多的 Cr(VI), 因而使得 EK-3 组Cr(T)的去除效率大于 EK-2组,达到78.4%。

EK-4 组、EK-5 组、EK-6 组电动修复前 Cr(T)质 量分别为 95 420、89 160、96 224 mg, 电动完成残留 Cr(T)质量分别为 75 455、67 179、55 240 mg, 土壤中 Cr(T)浓度有一定程度降低,三组试验的去除率分别 为20.9%、24.7%、42.6%。这说明采用 KMnO₄ 氧化-电 动强化修复应用于实际铬渣污染土壤是可行的,能 够提高铬的去除效率。从 Cr(Ⅲ)浓度分布可以看出, Cr(Ⅲ)有一定量的去除,去除的 Cr(Ⅲ)一部分迁移 至阴、阳极槽,一部分氧化为 Cr(VI)。根据电动修复 前后 Cr(Ⅲ)总量计算分析,电动对于 Cr(Ⅲ)的去除 不是高效的方法^[8]。电动前三组试验 Cr(Ⅲ)含量分别 占 87.1%、86.8%、87.7%, 电动后 Cr(Ⅲ)含量分别有 一定程度提高,说明去除的铬以 Cr(Ⅵ)为主,Cr(Ⅲ) 氧化为 Cr(VI)从而提高铬的去除率是可行的。

相同试验条件下,铬渣污染土壤去除效率没有高 岭土配土高:一是由于铬渣污染土壤中铬浓度远高于 高岭土配土; 二是由于高岭土配土 pH 呈现酸性,铬 渣污染土壤 pH 呈现碱性, 酸性环境利于铬的迁移; 三是由于铬渣污染土壤成分复杂,存在较多的缓冲物 质影响电流效率[8,25-27]。高锰酸钾的加入可能会引起负 面影响,在进一步试验中,要深入分析加入的锰元素 的影响。

3 结论

(1)高锰酸钾氧化-电动强化修复技术可以有效

提高铬污染土壤中铬的去除效率,施加1V·cm⁻¹ 直流 电压、运行96h的试验条件下,高岭土配土组总铬去 除效率从对照组的 32.4%提高到 78.4%, 铬渣污染土 壤组从对照组的 20.9%提高到 42.6%。

- (2)在直流电场作用下,三价铬以阳离子形式向 阴极移动,高锰酸钾离子向阳极移动,二者在移动的 过程中相遇,三价铬被氧化为六价铬,在土壤中六价 铬离子迁移速度高于三价铬且不易生成沉淀,从而促 进了铬的去除。
- (3)相同试验条件下,铬渣污染土壤由于成分复 杂且铬浓度较高,虽然电流较高,但铬的去除效率 没有高岭土配土组高,经过电动修复后,土壤仍呈 现碱性。

参考文献:

- [1] 杜 良, 王金生. 铬渣毒性对环境的影响与产出量分析[J]. 安全与环 境学报,2004,4(2):34-37. DU Liang, WANG Jin-sheng. Environmental impact of chromic slag and
 - analysis of chromic slag's output[J]. Journal of Safety and Environment, 2004, 4(2):34-37.
- [2] Pantsar-Kaillio M, Reinikainen S P, Oksanen M. Interactions of soil components and their effects on speciation of chromium in soils[J]. Analytica Chimica Acta, 2001, 439(1):9-17.
- [3] 孟凡生. 中国铬渣污染场地土壤污染特征[J]. 环境污染与防治, 2016, 38(6):50-53. MENG Fan-sheng. Pollution characteristics of soils polluted by chromium slag in China[J]. Environmental Pollution & Control, 2016, 38(6):
- [4] Cappai G, Gioannis G D, Muntoni A, et al. Combined use of a transformed red mud reactive barrier and electrokinetics for remediation of Cr/As contaminated soil[J]. Chemosphere, 2012, 86:400-408.
- [5] Suzuki T, Kawai K, Moribe M, et al. Recovery of Cr as Cr(III) from Cr (VI)-contaminated kaolinite clay by electrokinetics coupled with a permeable reactive barrier[J]. Journal of Hazardous Materials, 2014, 278: 297-303.
- [6] 邵友元, 熊 钡. 土壤中铬电动修复过程及影响因素[J]. 环境工程学 报,2016,10(10):6028-6034. SHAO You-yuan, XIONG Bei. Process and influence factors of electrokinetic remediation of chromium contaminated soil[J]. Chinese Journal

of Environmental Engineering, 2016, 10(10):6028-6034.

- [7] 付融冰, 刘 芳, 马 晋, 等. 可渗透反应复合电极法对铬(VI)污染 土壤的电动修复[J]. 环境科学, 2012, 33(1): 280-285. FU Rong-bing, LIU Fang, MA Jin, et al. Remediation of chromium (VI) contaminated soils using permeable reactive composite electrodes technology[J]. Environmental Science, 2012, 33(1):280-285.
- [8] 薛 浩, 孟凡生, 王业耀, 等. 酸化-电动强化修复铬渣场地污染土 壤[J]. 环境科学研究, 2015, 28(8):1317-1323.
 - XUE Hao, MENG Fan-sheng, WANG Ye-yao, et al. Remediation of

- chromium residue-contaminated soil by preacidification electrokinetic remediation [J]. *Research of Environmental Sciences*, 2015, 28(8): 1317-1323.
- [9] Gil-Cardeza M L, Ferri A, Cornejo P, et al. Distribution of chromium species in a Cr-polluted soil; Presence of Cr(III) in glomalin related protein fraction[J]. Science of the Total Environment, 2014, 493;828– 833.
- [10] Kaur K, Crimi M. Release of chromium from soils with persulfate chemical oxidation[J]. *Ground Water*, 2014, 52(5):748-755.
- [11] 吴 桐, 孟凡生, 王业耀, 等. 铬渣污染场地土壤电动修复研究[J]. 安全与环境学报, 2013, 13(5):56-60.

 WU Tong, MENG Fan-sheng, WANG Ye-yao, et al. Electrokinetic remediation to the chromium-contaminated soils[J]. Journal of Safety and Environment, 2013, 13(5):56-60.
- [12] 周东美, 仓 龙, 邓昌芬. 过氧化氢对铬在黄棕壤中电动过程的影响[J]. 土壤学报, 2005, 42(1):59-63.

 ZHOU Dong-mei, CANG Long, DENG Chang-fen. Electro kinetic processes of chromium in yellow brown soil as affected by hydrogen peroxide[J]. *Acta Pedologica Sinica*, 2005, 42(1):59-63.
- [13] Isabelle Le Hécho, Tellier S, Astruc M. Industrial site soils contaminated with arsenic or chromium: Evaluation of the electrokinetic method[J]. Environmental Technology, 1998, 19(11):1095-1102.
- [14] Cang L, Zhou D M, Alshawabkeh A N, et al. Effects of sodium hypochlorite and high pH buffer solution in electrokinetic soil treat ment on soil chromium removal and the functional diversity of soil mi– crobial community[J]. *Journal of Hazardous Materials*, 2007, 142(1/2): 111–117.
- [15] 江玲龙, 李瑞雯, 毛月强, 等. 铬渣处理技术与综合利用现状研究 [J]. 环境科学与技术, 2013, 36(6L):480-483.

 JIANG Ling-long, LI Rui-wen, MAO Yue-qiang, et al. Present processing technology and comprehensive utilization of chromium slag[J].

 Environmental Science & Technology, 2013, 36(6L):480-483.
- [16] Larner B L, Seen A J, Townsend A T. Comparative study of optimised BCR sequential extraction scheme and acid leaching of elements in the certified reference material NIST 2711[J]. Analytica Chimica A cta, 2006, 556;444–449
- [17] 王 海, 王春霞, 王子健. 太湖表层沉积物中重金属的形态分析[J]. 环境化学, 2002, 21(5):430-435.

- WANG Hai, WANG Chun-xia, WANG Zi-jian. Speciations of heavy metals in surface sediment of Taihu lake[J]. *Environmental Chemistry*, 2002, 21(5):430-435.
- [18] 周东美, 仓 龙, 邓昌芬. 络合剂和酸度控制对土壤铬电动过程的影响[J]. 中国环境科学, 2005, 25(1):10-14.

 ZHOU Dong-mei, CANG Long, DENG Chang-fen. Influence of complexes and acidity control on electrokinetic processes of soil chromium [J]. China Environmental Science, 2005, 25(1):10-14.
- [19] Al-Hamdan A Z, Reddy K R. Transient behavior of heavy metals in soils during electrokinetic remediation[J]. *Chemosphere*, 2008, 71:860– 871.
- [20] Peng C S, Almeira J O, Gu Q B. Effect of electrode configuration on pH distribution and heavy metal ions migration during soil electrokinetic remediation[J]. Environmental Earth Sciences, 2013, 69:257–265.
- [21] Acar Y B, Alshawabkeh A N. Principles of electrokinetic remediation [J]. Environmental Science & Technology, 1993, 27(13): 2638–2650.
- [22] Yolcubal I, Akyol N H. Retention and transport of hexavalent chromium in Calcareous Karst soils[J]. Turkish Journal of Earth Sciences, 2007, 16(3):363-379.
- [23] Ola S A, Fadugba O G, Ojuri O O. Comparison of effectiveness of two remediating agents on hydrocarbon contaminated soil/groundwater in the laboratory[J]. *Environment and Natural Resources Research*, 2015, 5(1):1-10.
- [24] Virkutyte J, Sillanpaa M, Latostenmaa P. Electrokinetic soil remediation-critical overview[J]. Science of the Total Environment, 2002, 289: 97–121
- [25] 石 磊, 赵由才, 牛东杰. 铬渣的无害化处理和综合利用[J]. 中国资源综合利用, 2004, 23(10):5-8.
 SHI Lei, ZHAO You-cai, NIU Dong-jie. Toxicity removal and comprehensice utilization of chromium residue[J]. China Resources Comprehensive Utilization, 2004, 23(10):5-8.
- [26] Reddy K R, Chinthamreddy S. Effects of initial form of chromium on electrokinetic remediation in clays[J]. Advances in Environmental Research, 2003, 7(2):353-365.
- [27] Reddy K R, Parupudi U S, Devulapalli Srinivas N, et al. Effects of soil composition on the removal of chromium by electrokinetics[J]. *Journal* of *Hazardous Materials*, 1997, 55(1–3):135–158.